() Veröffentlichungsnummer:

0 285 879 A1

EUROPÄISCHE PATENTANMELDUNG

(21) Anmeldenummer: 88104292.3

(51) Int. Cl.4 H01P 1/161

22) Anmeldetag: 17.03.88

(12)

30) Priorität: 24.03.87 DE 3709558

43 Veröffentlichungstag der Anmeldung: 12.10.88 Patentblatt 88/41

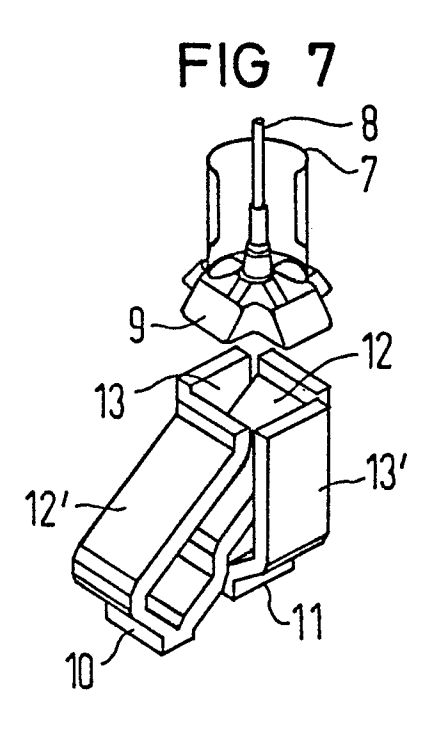
Benannte Vertragsstaaten:
AT BE CH DE ES FR GB GR IT LI LU NL SE

 Anmelder: Siemens Aktiengesellschaft Berlin und München
 Wittelsbacherplatz 2
 D-8000 München 2(DE)

Erfinder: Schuegraf, Eberhard, Dr.-Ing.
 Mauthäusistrasse 15
 D-8000 München 70(DE)

54 Breitband-Polarisationsweiche.

Es sind Maßnahmen im zwei orthogonale Linearpolarisationen führenden Wellenleiter (7) vorgesehen, z.B. das Einbringen eines Innenleiters (8) und/oder von symmetrisch angeordneten Metallängsstegen, wodurch dessen Leitungswellenwiderstand an die Leitungswellenwiderstände der beiden polarisationsselektiven Rechteckhohlleiterarme (10, 11) angenähert oder im Bedarfsfalle angeglichen wird. Es sind dabei zwei Bedingungen zu erfüllen, nämlich die Angleichung erstens der Querschnittsfaktoren in den Wellenwiderstandsgleichungen der aneinander anzupassenden Wellenleiter und zweitens der Grenzfrequenzen der ineinander überzuführenden Wellentypen. Verbleibende Reaktanzen in den Weichendurchgängen sind dann breitbandig ohne Schwierigkeiten auf kürzestem Raum anpaßbar. Die durch die Erfindung angegebenen Maßnahmen lassen sich bei Breitband-Polarisationsweichen für Satellitenfunk-und Richtfunkantennen anwenden.



Xerox Copy Centre

Breitband-Polarisationsweiche

Die Erfindung bezieht sich auf eine Breitband-Polarisationsweiche zur Trennung orthogonal linear polarisierter elektromagnetischer Mikrowellen mit einer Verzweigungseinrichtung, die einen die beiden orthogonalen Polarisationen führenden Wellenleiter in zwei nur noch jeweils eine dieser Polarisationen führende Rechteckhohlleiterarme aufteilt.

Praktisch allen bekannten Polarisationsweichen fehlt die Grundvoraussetzung für eine echte Breitbandanpassung, nämlich die Wellenwiderstandshomogenität entlang den beiden Durchgängen einer solchen Weiche; denn zwischen jedem der beiden polarisationsselektiven Weichenanschlüsse, die stets als Rechteckhohlleiter mit dem Seitenverhältnis a \approx 2b ausgebildet sind, und dem Hohlleiter kreisrunden oder quadratischen Querschnitts (a = b) besteht bei allen bekannten Polarisationsweichen nach der Wellenwiderstandsgleichung

$$Z = \frac{b}{a} \frac{K Z_0}{\sqrt{1 - (\lambda_0 / \lambda_k)^2}}$$

15

30

ein Wellenwiderstandssprung Z_{rund} bzw. $Z_{Quadrat}$ $Z_{Rechteck}$ =2. In der vorstehenden Gleichung ist Z der Leitungswellenwiderstand, b. K. a der Querschnittsfaktor für die jeweilige Welle im Rechteckhohlleiter, Z_o der Feldwellenwiderstand einer ebenen Welle im freien Raum, λ_o die Wellenlänge im freien Raum und λ_k die jeweilige kritische Wellenlänge, die auch Grenzwellenlänge des betrachteten Wellentyps genannt wird. Eine breitbandige Anpassung des Wellenwiderstandssprungs zwischen den Leitungen ist -jedenfalls über große Bandbreiten von einer Oktave und mehr - prinzipiell unmöglich.

Es ist versucht worden, mit stetigen Übergängen, mit Umlenk-und Kurzschlußblechen unterschiedlichsten Zuschnitts beider Stirnflächen, mit Blenden, Schraubenansammlungen und ähnlichem den diagnostizierten Wellenwiderstandssprung wenigstens schmalbandig (bis ca. 20 %) reflektionsarm zu machen.

Aufgabe der Erfindung ist es, eine Möglichkeit anzugeben, mit welcher die störenden Wellenwiderstandssprünge bei breitbandig zu verwendenden Polarisationsweichen reduziert oder ganz eliminiert werden

Gemäß der Erfindung, die sich auf Breitband-Polarisationsweichen der eingangs genannten Art bezieht, wird diese Aufgabe dadurch gelöst, daß Maßnahmen im die beiden Polarisationen führenden Wellenleiter vorgesehen sind, durch welche dessen ursprünglich etwa doppelt so großer Leitungswellenwiderstand an die in sich gleichen Leitungswellenwiderstände der beiden Rechteckhohlleiterarme angenähert oder im Bestfalle angeglichen wird, wozu zwei Bedingungen zu erfüllen sind, nämlich zum einen die Angleichung der Querschnittsfaktoren in den Wellenwiderstandsgleichungen der aneinander anzupassenden Wellenleiter und zum anderen die Angleichung der Grenzfrequenzen der ineinander überzuführenden Wellentypen in diesen Wellenleitern, und daß verbleibende Reaktanzen in den Wellenleitern durch nur kurze Baulängen erfordernde Transformationsmaßnahmen angepaßt werden. Die Erfindung geht von dem Gedanken aus, daß die Leitungswellenwiderstände der rechteckigen Polarisationsweichen-Hohlleiterarme mit ihrem Seitenverhältnis a ≈ 2 b fest vorgegeben sind, wogegen der Leitungswellenwiderstand des die beiden Orthogonalpolarisationen führenden Wellenleiters nicht festgelegt und daher frei wählbar ist. Dies eröffnet die bislang ungenutzte Möglichkeit, den Leitungswellenwiderstand des die beiden orthogonalen Polarisationen führenden Wellenleiters durch die angegebenen Maßnahmen abzusenken und damit an die Leitungswellenwiderstände der Rechteckhohlleiterarme zumindest anzunähern. Ideale Anpassungsbedingungen herrschen, wenn die Leitungswellenwiderstände des die beiden orthogonalen Polarisationen führenden Wellenleiters an diejenigen der Rechteckhohlleiterarme breitbandig angeglichen sind. Durch die Erfüllung der angegebenen beiden Bedingungen, nämlich zum einen der Angleichung der Querschnittsfaktoren in den Wellenwiderstandsgleichungen der aneinander anzupassenden Wellenleiter, z.B. nach der vorstehend angegebenen Wellenwiderstandsgleichung der Faktor b. K. a für die H10-Welle im Rechteckhohlleiter, und der Angleichung der Grenzfrequenzen der ineinander überzuführenden Wellentypen, wird eine Angleichung der Wellenwiderstände über sehr große Bandbreiten erreicht. Beide Durchgänge solcher wellenwiderstandshomogenisierter Polarisationsweichen enthalten dann keinerlei Wellenwiderstandssprünge mehr, sondern nur noch Reaktanzen, die bekanntlich - im Gegensatz zu Wellenwiderstandssprüngen - sehr breitbandig anpaßbar sind. Dieses Prinzip der Wellenwiderstandshomogenisierung ist auf praktisch alle bekannten Polarisationsweichen anwendbar. Das Ergebnis ist stets eine gegenüber bisher wesentlich vergrößerte Bandbreite der Reflexionsarmut.

In den Unteransprüchen sind vorteilhafte und zweckmäßige Ausführungsmöglichkeiten der Erfindung zur Erreichung einer Wellenwiderstandshomogenität entlang den beiden Durchgängen einer Breitband-Polarisationsweiche angegeben.

Die Erfindung und Ausführungsbeispiele davon werden im folgenden anhand von sieben Figuren erläutert. Es zeigen

- Fig. 1 zwei wellenwiderstandssenkende Maßnahmen im die beiden Orthogonalpolarisationen führenden Wellenleiter,
- Fig. 2 eine Anzahl von Querschnittsmöglichkeiten bei einem die beiden Orthogonalpolarisationen führenden Wellenleiter jeweils mit einem Innenleiter mit reduziertem Wellenwiderstand und erweiterten Frequenz-Eindeutigkeitsbereichen,
- Fig.3 einen meßtechnisch gewonnenen, quantitativen Zusammenhang zwischen dem Wellenwiderstand eines Koaxialwellenleiters mit rundem Innenleiter und seinem Durchmesserverhältnis von Innen-zu Außenleiterdurchmesser,
- Fig. 4 ein Diagramm, bei dem für das Durchmesserverhältnis eines jeweils betrachteten Koaxialwellenleiters der Durchmesser desjenigen gedachten Rundhohlleiters er mittelt wird, der die gleiche H_{11} -Grenzfrequenz hat wie der Koaxialwellenleiter,
- Fig. 5 ein Diagramm, in dem Frequenz-Eindeutigkeitsbereiche in Koaxialwellenleitern abhängig von ihrem Durchmesserverhältnis dargestellt sind,

20

- Fig. 6 in einer Querschnittsdarstellung eines Koaxialwellenleiters das E-Feld der H₃₁-Störwelle,
- Fig. 7 in einer Schrägansicht die Struktur einer Zweiband-Polarisationsweiche mit einem Innenleiter zur Reduzierung der Wellenwiderstandssprünge.

Zur angestrebten Wellenwiderstandssenkung in einem einen Außenleiter 1 runden oder quadratischen Querschnitts aufweisenden, beide Qrthogonalpolarisationen führenden Wellenleiter eignet sich nach der linken Darstellung entweder eine symmetrische Anordnung von wenigstens vier Metallstegen 2, 3, 4 und 5 an der Innenfläche der Wand des Außenleiters 1 oder/und, wie in der rechten Darstellung von Fig. 1 gezeigt ist, ein konzentrisch angeordneter Innenleiter 6. Der Innenleiter 6 ist in der Praxis leichter herzustellen als die sich in Hohlleiterlängsrichtung erstreckenden leitenden Stege 2, 3, 4 und 5. Der Innenleiter 6 ist in der mittleren Längsachse des Außenleiters 1 angeordnet und verläuft somit konzentrisch. Der Innenleiter 1 wird vorzugsweise in der Gabelungszone der drei Polarisationsweichenhohlleiter mit den Außenleiterkonturen fest, d.h. leitend, verbunden. Diese eigens dafür geschaffene Befestigung ist universell einsetzbar und läßt sich zur Reflexionskompensation beider Polarisationen ausnützen.

Die einfachste Form eines Innenleiters 6 ist die in der rechten Darstellung von Fig. 1 gezeigte kreisrunde Querschnittsform. Damit wird neben der angestrebten Wellenwiderstandssenkung zusätzlich eine wesentliche Ausweitung des Eindeutigkeitsbereiches beim Koaxialwellenleiter erreicht, wozu im weiteren Verlauf der Beschreibung noch quantitative Angaben folgen.

Für noch breitere Eindeutigkeitsbereiche f_{kE11} / f_{kH11} , f_{kH31} / f_{kH11} und f_{kE21} / f_{kH10} sind günstigere Queschnittsformen des Innenleiters 6 möglich, die in Fig. 2 im einzelnen dargestellt sind. Danach läßt sich der Innenleiter 6 z.B. kreuzförmig ausbilden, und auch Kombinationen mit einem runden oder quadratischen Außenleiter 1 ohne oder mit leitenden Längsstegen 2, 3, 4 und 5 sind möglich.

Nach dem Aufsatz W. Baier: "Wellentypen in Leitungen rechteckigen Querschnitts" aus der Zeitschrift "AEÜ", Band 22 (68), Heft 4, Seiten 184 ff. bewirkt der Innenleiter 6 sehr geringe Zusatzverluste und bringt folgende weitere Vorteile. Der über die Polarisationsweiche hinaus verlängerte Innenleiter 6 eignet sich dazu, das Verhalten eines an die Polarisationsweiche angeschlossenen Verbrauchers zu verbessern, so z.B. die Bandbreite der Reflexionsarmut eines Rillenhorns und seine Kreuzpolarisationseigenschaften gegenüber der Hornspeisung durch einen reinen Hohlleiter - also ohne Innenleiter - zu verbessern. Dabei kann der Innenleiter 6 im Hornhals, im Rillenbereich oder ausserhalb der Hornapertur stetig, gestuft oder sprunghaft enden. Ferner kann in einem hohl gestalteten Innenleiter 6 Raum geschaffen werden für Wellen gleicher oder anderer Art mit gleicher oder anderer Frequenz wie diejenigen außerhalb des Innenleiters 6 bereits vorhandenen Wellen. Dazu kann der Innenraum des Innenleiters seinerseits in geeigneter Weise mit leitendem Material oder mit einem Dielektrikum versehen werden. Im Innenraum des Innenleiters 6 und/oder nahe seiner Oberfläche können ferner Koppeleinrichtungen für Wellen angeordnet werden, die aus dem Raum außerhalb des Innenleiters in sein Inneres und umgekehrt gekoppelt werden.

Der Innenleiter 6 erhöht unabhängig von seiner jeweiligen Querschnittsform und derjenigen des zugehörigen Außenleiters 1 überwiegend die Querkapazität im Wellenwiderstandsersatzschaltbild für H-Wellen. Somit sinkt der Wellenwiderstand der H-1-Welle bzw. der H-1-Welle - wie beabsichtigt - und die zugehörigen Grenzwellenlängen steigen an.

Für den einfachen, praktisch interessanten Fall des koaxialen Wellenleiters mit einem kreisrunden Innen-und Außenleiter zeigt Fig. 3 den meßtechnisch gewonnenen, quantitativen Zusammenhang zwischen dem Wellenwiderstand dieses Koaxialwellenleiters und seinem Durchmesserverhältnis d/D_k von Innenleiterdurchmesser d zu Außenleiterdurchmesser D_k . Die Messungen sind so ausgeführt, daß für Koaxialwellenleiter mit bestimmten Werten der Durchmesserverhältnisse $(d/D_K)_n$ jeweils derjenige Rechteckhohlleiter mit seinem Seitenverhältnis $(b/a)_n$ ermittelt ist, der am sprunghaften Übergang zwischen dem jeweiligen Koaxialwellenleiter und dem Rechteckhohlleiter Breitbandanpassung ergibt. Hierbei sind zuvor die Grenzfrequenzen der H_{10} -Welle im Rechteckhohlleiter und der H_{11} -Welle im Koaxialwellenleiter gleich gemacht. Dazu wird für das Durchmesserverhältnis d/D_k des jeweils betrachteten Koaxialwellenleiters aus der Fig. 4 nach Meinke, Gundlach: "Taschenbuch der Hochfrequenztechnik", 2. Auflage, Springer-Verlag, Seite 309 der Durchmesser D_0 desjenigen gedachten Rundhohlleiters ermittelt, der die gleiche H_{11} -Grenzfrequenz hat wie der Koaxialwellenleiter. Mithin ergibt sich die Grenzwellenlänge des Koaxialwellenleiters als $\lambda_{kH11} = 1.706 \ D_0$ und daraus dann die gesuchte Breitseite a des Rechteckhohlleiters mit der angeglichenen H_{12} -Grenzwellenlänge $2a = 1,706 \ D_0$.

Außerdem ist bei diesen Messungen die am Querschnittssprung verbleibende Reaktanz durch einen passenden Längsversatz des Innenleiteranfangs gegenüber der Sprungstelle breitbandig kompensiert. Solche sprunghaften Übergänge vom Rechteckwellenleiter auf den Koaxialwellenleiter beanspruchen praktisch keine Baulänge. Sie erreichen Bandbreiten der Reflexionsarmut bis zu einer Oktave, und über 50 % Bandbreite ist ihre Reflexion kleiner als 1 %. Damit ist eine wichtige Grundkomponente wellenwiderstandshomogener Polarisationsweichen verfügbar.

Anhand der quantitativen Zusammenhänge der Durchmesserverhältnisse d/Dk von Koaxialwellenleitern mit ihren Wellenwiderständen, dargestellt in Fig. 3, und ihren H11-Grenzfrequenzen, dargestellt in Fig. 4. lassen sich zunächst für die zumeist gegebenen Rechteckhohlleiter mit a = 2b die hinsichtlich des Wellenwiderstands und der H11-Grenzfrequenz dazu passenden Koaxialwellenleiter ermitteln. In diesem Zusammenhang wird auf die linke Spalte der am Schluß der Beschreibung angefügten Berechnungstabelle hingewiesen. Darüber hinaus ergeben sich ganz neue Konzeptperspektiven für die Realisierung von Polarisationsweichen mit extrem großen Bandbreiten aufgrund der Einführung von niedrigeren Rechteckhohlleitern mit b < a/2 und den daran angepaßten Koaxialwellenleitern mit relativ dicken Innenleitern. Hierzu werden in der am Schluß der Beschreibung angegebenen Berechnungstabelle die Beispiele a = 3b und a = 4b ausgewertet. Zur Beurteilung der zugehörigen Koaxialwellenleiter werden sodann ihre theoretischen Eindeutigkeitsbereiche im Blick auf die bei symmetrischer H11-Anregung zuerst auftretende E11-Störwelle ermittelt. Quantitativ kennzeichnend hierfür sind die Grenzfrequenzverhältnisse fkE11 / fkH11 abhängig vom Durchmesserverhältnis d/Dk der Koaxialwellenleiter nach Fig. 5 aus Meinke, Gundlach: "Taschenbuch der Hochfrequenztechnik", Springer-Verlag, 2. Auflage, Seite 309. Es ergeben sich für niedriger gewählte Rechteckhohlleiter mit b < a/2 und die daran angepaßten Koaxialwellenleiter mit relaiv dicken Innenleitern Einideutigkeitsbereiche f_{kE11} , f_{kH11} , die mit zunehmendem Durchmesserverhältnis d/D_k äüßerst rasch breiter werden und deren Breite für $d/D_k \rightarrow 1$ gegen ∞ gehen.

Sodann wird auch die auf die E₁₁-folgende H₃₁-Störwelle nach Fig. 6 in die Betachtung einbezogen. Die H₃₁-Störwelle wird trotz symmetrischer Anregung neben der H₁₁-Grundwelle angeregt, weil nach Fig. 6 z.B. die E-Feldstärken der H₁₃-Welle an diametral gegenüberliegenden Stellen des Umfangs im Koaxialwellenleiter stets die gleiche Richtung haben wie die E-Felder der H₁₁-Welle.

Mit der Einführung des Innenleiters wird neben der breitbandigen Angleichung der Wellenwiderstände auch die Erweiterung des Eindeutigkeitsbereiches f_{kH31} / f_{kH11} erreicht. Nach Fig. 5 hat der an den Rechteckhohlleiter mit a = 2b angepaßte Koaxialwellenleiter mit d/D_K = 0,37 einen nutzbaren Eindeutigkeitsbereich f_{kH31} f_{kH11} = 2,73 (gegenüber dem nutzbaren Eindeutigkeitsbereich f_{kE11} f_{kH11} = 2,08 beim Rundhohlleiter ohne Innenlei ter). Wegen der notwendigen Abstände der Betriebsfrequenzen von den Grenzfrequenzen entspricht f_{kH31} f_{kH11} = 2,73 einer nutzbaren Bandbreite von f_h / f_n = 2,5 maximal. Nach Fig. 5 erreicht der Koaxialwellenleiter bei d/D_K = 0,77 ein Maximum der Breite des Eindeutigkeitsbereiches bei f_{kH31} f_{kH11} = 3,09 entsprechend einer nutzbaren Bandbreite von maximal f_h , f_n = 2,8.

Diese Zahlenwerte gelten für Koaxialwellenleiter mit runden Innen-und Außenleitern. Noch größere Nutzbandbreiten sind mit Koaxialwellenleitern zu erwarten, deren Querschnittsvarianten in Fig. 2 skizziert sind. Die Gestaltung dieser Querschnitte zielt auf eine möglichst starke kapazitive Belastung der Hoo-Welle also auf eine niedrige Hoo-Grenzfrequenz - bei zugleich möglichst geringer kapazitiver Belastung der Hoo-Welle und einer folglich hohen Hoo-Grenzfrequenz. Mit diesen Methoden erscheint es möglich, z.B. die praktisch interessierende Kombination der beiden Richtfunkbereiche von 3.4 bis 4,2 GHz und von 10,7 bis 11,7 GHz mit einer einzigen Polarisationsweiche zu beherrschen.

Als praktischer Anwendungsfall der Erfindung wird im folgenden anhand der Fig. 7 eine Breitband-Polarisationsweiche eines Zweiband-Antennensystems für die Richtfunkfrequenzbereiche 3,58 bis 4,2 GHz

und 6.425 bis 7,125 GHz erläutert. Für diesen Frequenzquotienten f_h f_n = 1,99 ist der Rundhohlleiter 7 wegen seiner "Mehrwelligkeit" über Frequenzbereiche, die einschließlich der notwendigen Grenzfrequenzabstände f_{kE11} f_{kH11} = 2,08 erreichen, sowohl als Polarisationsweichenhohlleiter wie auch als Hornhohlleiter untauglich. Die unumgängliche Erweiterung des Eindeutigkeitsbereiches gelingt mit der Einführung eines Innenleiters 8, so daß nach Fig. 7 an die z.B. aus dem Aufsatz von E. Schuegraf "Neuartige Mikrowellenweichen für Zweibandantennen" aus "NTZ", Band 38 (1985), Heft 8, Seiten 554 bis 560 bekannte Doppelverzweigung 9, die der En-und Hanstörwellenfreien Anregung beider Polarisationen dient, ein Koaxialwellenleiter, bestehend aus dem Innenleiter 8 und dem Außenleiter 7, angeschlossen ist. Sein Eindeutigkeitsbereich kann schon mit einem relativ dünnen Innenleiter 8 von d = 7.3 mm im Außenleiter 7 mit D_K = 52.2 mm auf f_{kE11} (11 % unter f_n = 3,58 GHz) und f_{kE11} = 7,3 GHz, d.h. 2,5 % über f_h = 7,125 GHz, bei der sich demnach eine ausreichende Störfelddämpfung für die E11-Welle ergibt. Somit wird einerseits das E11-Störfeld der Doppelverzweigung 9 genügend gedämpft; und - da der Innenleiter 8 bis in die Nähe der ersten Rille eines angeschlossenen Rillenhorns verlängert ist - ist die E11-Nutzanregung im Rillenbereich vom Hornhohlleiter mit der aperiodischen E-1-Dämpfung erwünschtermaßen entkoppelt. Im übrigen hat die Gestalt des Innenleiters 8 auch bei sehr kleinen Änderungen einen ganz entscheidenden Einfluß auf die Hornreflexion und ebenso auf die Kreuzpolarisationsunterdrückung.

Die Rechteckhohlleiterzugänge 10 und 11 der in Fig. 7 dargestellten Polarisationsweiche sind mit a=2 b=46 mm ausgeführt. Beide Hohlleitergabeln 12, 12' und 13, 13' und die Doppelverzweigung 9 sind wellenwiderstandshomogen, und der dazu passende Koaxialwellenleiter hat nach Fig. 3 und 4 $D_K=43$ mm und d=16 mm. Diese Dimensionierung stellt den Prototyp der erfindungsgemäßen wellenwiderstandshomogenen Polarisationsweiche dar.

Bei der Anordnung in Fig. 7 ist der verbleibende Wellenwiderstandssprung zwischen dem zuvor ermittelten Koaxialwellenleiter (d = 16 mm, D_K = 43 mm) und dem zum Horn weiterführenden mit D_K = 52,2 mm und d = 7,3 mm vorteilhafterweise auf 1,6 reduziert und wird durch λ_H 4-Transformationsstufen reflexionsarm überbrückt. Der rotationssymmetrisch ausgeführte Transformator bietet viele, einfach ausführbare Korrekturmöglichkeiten, die stets für beide Polarisationen gleiche Wirkung haben.

Die im Ausführungsbeispiel nach Fig. 7 dargestellte Polarisationsweiche hat eine sehr große Nutzbandbreite. Daher ist sie besonders dazu geeignet, daß an ihre Rechteckhohlleiterarme 10 und 11 je eine Frequenzweiche für zwei oder mehr Richtfunk frequenzbereiche unterschiedlicher Frequenzlage angeschlossen wird (direkt). Außerdem kann die Verbindung zwischen den beiden Rechteckhohleiterarmen 10 und 11 der in Fig. 7 dargestellten Polarisationsweiche und den beiden Frequenzweichen auch durch zwei lange Leitungen hergestellt werden, die z.B. als mit entsprechenden Übergängen versehene, übermodierte, biegbare Rechteckhohlleiter ausgebildet sind und die durch alle erdenklichen Maßnahmen zur Erweiterung ihres eindeutigen Übertragungsfrequenzbereiches dazu geeignet sind, jeweils mehr als einen Richtfunkbereich gleicher Polarisation vom Ort der Frequenzweichen, z.B. am Fuße des Antennenturms, dämpfungs-, reflexions-und laufzeitverzerrungsarm zur unmittelbar an der Antenne, d.h. also beispielsweise auf dem Turm angeordneten Breitband-Polarisationsweiche und umgekehrt zu übertragen.

Es wird noch darauf hingewiesen, daß es sich bei dem in Bild 7 des bereits erwähnten Aufsatzes von E. Schuegraf in der Zeitschrift "NTZ", Band 38 (1985), Heft 8 dargestellten Innenleiter nicht um einen runden Innenleiter im Sinne der Erfindung handelt, mit dem eine Wellenwiderstandshomogenisierung entlang der beiden Durchgänge einer Polarisationsweiche erreicht wird, sondern um einen λ 4-Transformator. Auch der in den Figuren 2a und 2b der DE-PS 28 42 576 dargestellte Innenleiter stellt ein schmalbandiges λ 4-Trafo-Netzwerk mit Zusatzreaktanzen dar, das speziell auf eine gute Anpassung in zwei schmalen Frequenzbereichen, die relativ weit auseinander liegen (knappe Oktave), speziell zugeschnitten und mit einem gemäß der Erfindung bemessenen Innenleiter nicht vergleichbar ist.

Nach den erfindungsgemäßen Grundsätzen können nun neue Polarisationsweichen dimensioniert werden, deren je zwei Rechteckhohlleiterarme beispielsweise mit folgenden Seitenverhältnissen ausgestattet werden (Berechnungstabelle):

$$a = 2b_2; \frac{b_2}{a} = 0,5$$
 $a = 3b_3; \frac{b_3}{a} = \frac{1}{3}$ $a = 4b_4; \frac{b_4}{a} = 0,25$

55

Dazu wird jeweils derjenige Koaxialwellenleiter ermittelt, der bei rundem Außen-und Innenleiter die gleiche H··-Grenzfrequenz und frequenzunabhängig gleiche Welllenwiderstände aufweist wie die Rechteck-

0 285 879

hohlleiterarme. Aus dem b.a-Wert des Rechteckhohlleiterarms folgt nach Fig. 3 das Durchmesserverhältnis des wellenwiderstandsgleichen Koaxialwellenleiters zu

 $dD_K = 0.37 \mid 0.51 \mid 0.6$

Für den jeweiligen d D_K-Wert des Koaxialwellenleiters folgt aus Fig. 4 das Durchmesserverhältnis (D_K D_o) mit D_o als Durchmesser desjenigen Rundhohlleiters, der die gleiche H₁₁-Grenzfrequenz hat wie der jeweilige Koaxialwellenleiter

 $D_K D_o = 0.80 \mid 0.71 \mid 0.67$

10

15

20

Aus 2a = 1,706
$$D_0 = 1,706$$
 $\frac{D_K}{D_0}$ folgt $D_K = \frac{2a}{1,706}$ $\frac{D_K}{D_0}$

 $D_K = 0.983a \mid 0.83a \mid 0.803a$

Für den jeweiligen Koaxialwellenleiter mit d. D_K ergibt sich nach Fig. 5 aus Meinke, Gundlach "Taschenbuch der Hochfrequenztechnik", 2. Auflage, Seite 309 der Eindeutigkeitsbereich f_{kE11} f_{kH11} bzw. f_{kH31} f_{kH11} :

$$\frac{f_{kE11}}{f_{kH11}} = 3,54$$

$$\frac{f_{kH11}}{f_{kH11}} = 2,73$$

$$\frac{f_{kH31}}{f_{kH11}} = 2,73$$

$$\frac{f_{kH31}}{f_{kH11}} = 2,73$$

$$\frac{f_{kH31}}{f_{kH11}} = 2,73$$

Als konkretes Beispiel werden für den 4-GHz-Rechteckhohlleiter mit a = 58,17 mm und den obigen Seitenverhältnissen folgende vollständige Dimensionierungen angegeben.

a = 58,17 mm

$$b_{2} = 29,08 \text{ mm} \qquad b_{3} = 19,39 \text{ mm} \qquad b_{4} = 14,54 \text{ mm}$$

$$D_{K2} = 54,56 \text{ mm} \qquad D_{K3} = 48,4 \text{ mm} \qquad D_{K4} = 46,71 \text{ mm}$$

$$d_{2} = 20,19 \text{ mm} \qquad d_{3} = 24,7 \text{ mm} \qquad d_{4} = 28,0 \text{ mm}$$

Ansprüche

55

1. Breitband-Polarisationsweiche zur Trennung orthogonal linear polarisierter elektromagnetischer Mikrowellen mit einer Verzweigungseinrichtung, die einen die beiden orthogonalen Polarisationen führenden Wellenleiter in zwei nur noch jeweils eine dieser Polarisationen führende Rechteckhohlleiterarme aufteilt,

dadurch gekennzeichnet, daß Maßnahmen im die beiden Polarisationen führenden Wellenleiter (7) vorgesehen sind, durch welche dessen ursprünglich etwa doppelt so großer Leitungswellenwiderstand an die in sich gleichen Leitungswellenwiderstände der beiden Rechteckhohlleiterarme (10. 11) angenähert oder im Bestfalle angeglichen wird, wozu zwei Bedingungen zu erfüllen sind, nämlich zum einen die Angleichung der Querschnittsfaktoren in den Wellenwiderstandsgleichungen der aneinander anzupassenden Wellenleiter und zum anderen die Angleichung der Grenzfrequenzen der ineinander überzuführenden Wellentypen in diesen Wellenleitern, und daß verbleibende Reaktanzen in den Wellenleitern durch nur kurze Baulängen erfordernde Transformationsmaßnahmen angepaßt werden.

- 2. Polarisationsweiche nach Anspruch 1,
- dadurch gekennzeichnet, daß bei räumlich symmetrischer Anregung beider Linearpolarisationen mit je einer elektrisch symmetrischen Rechteckhohlleitergabel (12, 12', 13, 13') die Gabelteilarme mit der Hälfte der Höhe b der äußeren Zugänge zu den Rechteckhohlleiterarmen und mit unveränderter Breitseite a in den die beiden Orthogonalpolarisationen führenden Wellenleiter (7) münden.
 - 3. Polarisationsweiche nach Anspruch 1.
 - dadurch gekennzeichnet, daß an der Innenfläche der kreisrund oder quadratisch ausgebildeten Außenwand (1) des Wellenleiters in Wellenleiterlängsrichtung wenigstens vier Metallstege (2, 3, 4, 5) symmetrisch angeordnet sind.
 - 4. Polarisationsweiche nach einem der vorhergehenden Ansprüche,
 - dadurch gekennzeichnet, daß im Innenraum des Wellenleiteraußenleiters (1) kreisrunden oder quadratischen Querschnitts ein konzentrisch, d.h. in der mittleren Längsachse angeordneter Innenleiter (6) vorgesehen ist, der querschnittsmäßig so dimensioniert und möglicherweise abgestuft ist, daß die vorgegebenen Bedingungen zur homogenen Wellenwiderstandsnäherung oder -homogenisierung erfüllt sind.
 - 5. Polarisationsweiche nach Anspruch 4.
 - dadurch gekennzeichnet, daß die Zugänge zu den beiden Rechteckhohlleiterarmen (10, 11) mit gegenüber der Normalhöhe b = a2 wesentlich reduzierter Höhe ausgeführt sind und daß der Leitungswellenwiderstand des die beiden Orthogonalpolarisationen führenden Wellenleiters (7) an den Leitungswellenwiderstand dieser in der Hohlleiterhöhe reduzierten Rechteckhohlleiterarmzugänge durch verstärkte kapazitive Belastung mittels dickerem Innenleiter (8) im die beiden Orthogonalpolarisationen führenden Wellenleiter und/oder mit Metallängsstegen innen an dessen Außenwand angeglichen ist.
 - 6. Polarisationsweiche nach den Ansprüchen 4 oder 5,
 - dadurch gekennzeichnet, daß der Innenleiter (8) in der Gabelungszone der drei Polarisationsweichenwellenleiter, z.B. bei einer Doppelverzweigung (9), befestigt und dort mit den Wellenleiterkonturen fest, d.h. leitend verbunden ist.
 - 7. Polarisationsweiche nach einem der Ansprüche 4 bis 6,
 - dadurch gekennzeichnet, daß der Innenleiter (8) einen kreisrunden Querschnitt aufweist.
 - 8. Polarisationsweiche nach einem der Ansprüche 4 bis 6,
 - dadurch gekennzeichnet, daß der Innenleiter (6) einen kreuzförmigen Querschnitt aufweist.
 - 9. Polarisationsweiche nach einem der Ansprüche 4 bis 6,
 - dadurch gekennzeichnet, daß der Innenleiter (6) einen Vierkantquerschnitt aufweist.
 - 10. Polarisationsweiche nach einem der Ansprüche 4 bis 6,
 - dadurch gekennzeichnet, daß der Innenleiter (6) einen kreisrunden Querschnitt mit symmetrisch angeordneten Längsstegen aufweist.
 - 11. Polarisationsweiche nach einem der Ansprüche 4 bis 10,
 - dadurch gekennzeichnet, daß der Innenleiter (8) im Außenleiter (7) kreisrunden oder quadratischen Querschnitts über den eigentlichen Polarisationsweichenbereich in Richtung zum angeschlossenen Verbraucher hin verlängert ist.
 - 12. Polarisationsweiche nach Anspruch 11,
 - dadurch gekennzeichnet, daß der Innenleiter im Verbraucher, z.B. einem Hornstrahler, insbesondere einem Rillenhornstrahler, im Hornstrahlerhals, im Rillenbereich oder außerhalb der Hornstrahlerapertur stetig, gestuft oder sprunghaft endet.
 - 13. Polarisationsweiche nach einem der Ansprüche 4 bis 12,
 - dadurch gekennzeichnet, daß der Innenleiter hohl ausgebildet ist, so daß darin Wellen gleicher oder anderer Art mit gleicher oder unterschiedlicher Frequenz wie diejenigen außerhalb des Innenleiters bereits vorhandenen Wellen geführt werden können.
 - 14. Polarisationsweiche nach Anspruch 13.
 - dadurch gekennzeichnet, daß der hohle Innenraum des Innenleiters seinerseits in geeigneter Weise mit leitendem und oder dielektrischem Material versehen ist.

0 285 879

- 15. Polarisationswerche nach Anspruch 12 oder 14, dadurch gekennzeichnet, daß im hohlen Innenraum des Innenleiters und oder nahe an seiner Oberfläche Koppeleinrichtungen für Wellen angeordnet sind, die aus dem Raum außerhalb des Innenleiters in sein Inneres und umgekehrt gekoppelt werden.
- 16. Polarisationsweiche nach einem der vorhergehenden Ansprüche, dadurch gekennzeichnet, daß an beide polarisationsselektiven Rechteckhohlleiterarme (10, 11) je eine Frequenzweiche direkt angeschlossen ist.
- 17. Polarisationsweiche nach einem der Ansprüche 1 bis 15, dadurch gekennzeichnet, daß an beide polarisationsselektiven Rechteckhohlleiterarme (10, 11) je eine Frequenzweiche über jeweils eine lange Leitung angeschlos en ist, die als mit entsprechenden Übergängen versehene, übermodierte Rechteckhohlleitung ausgebildet ist.

FIG 1

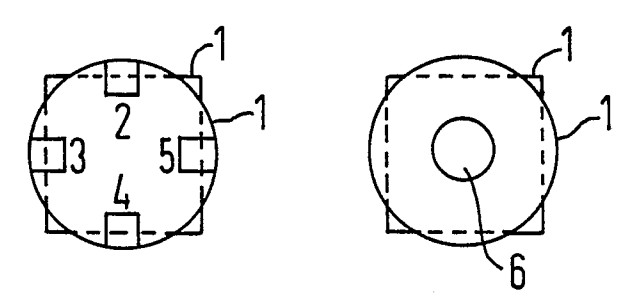
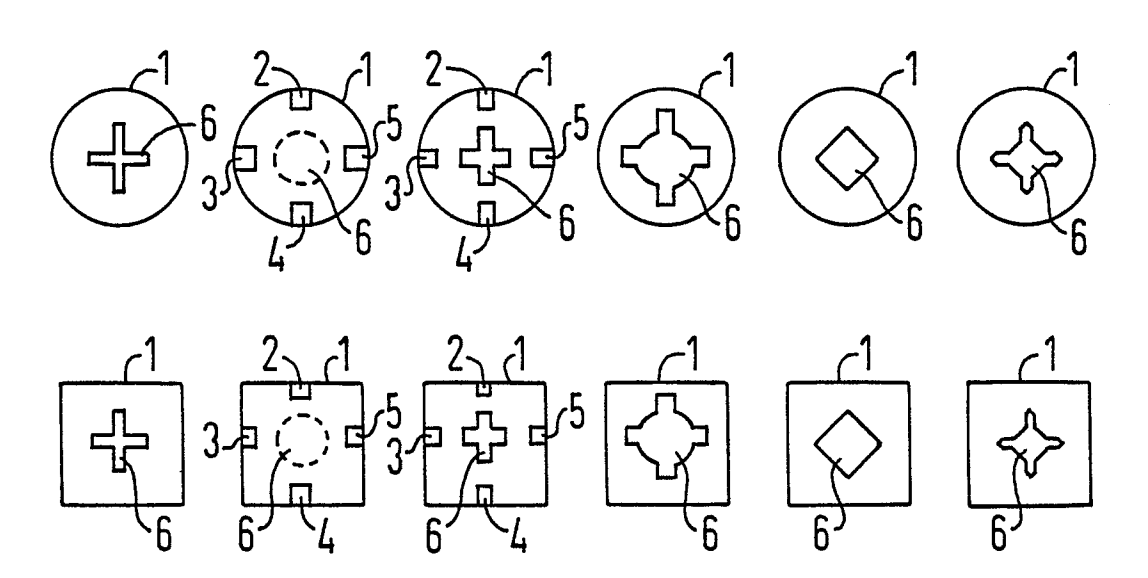
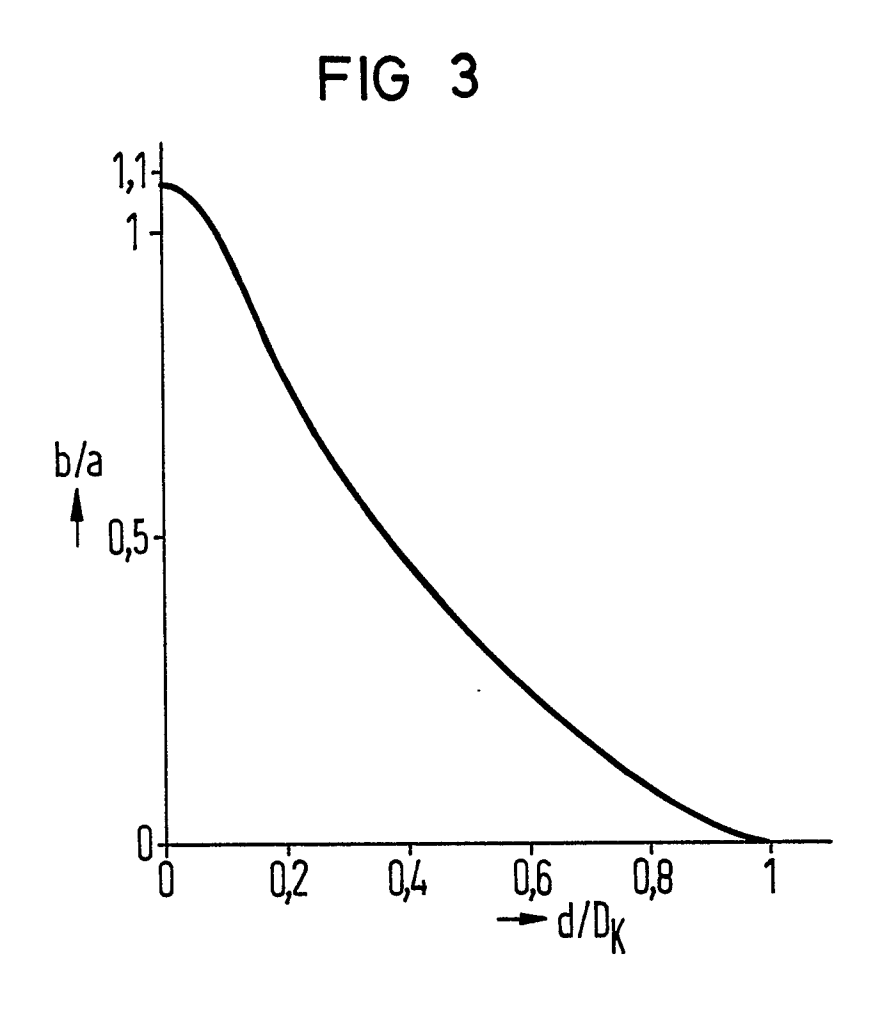
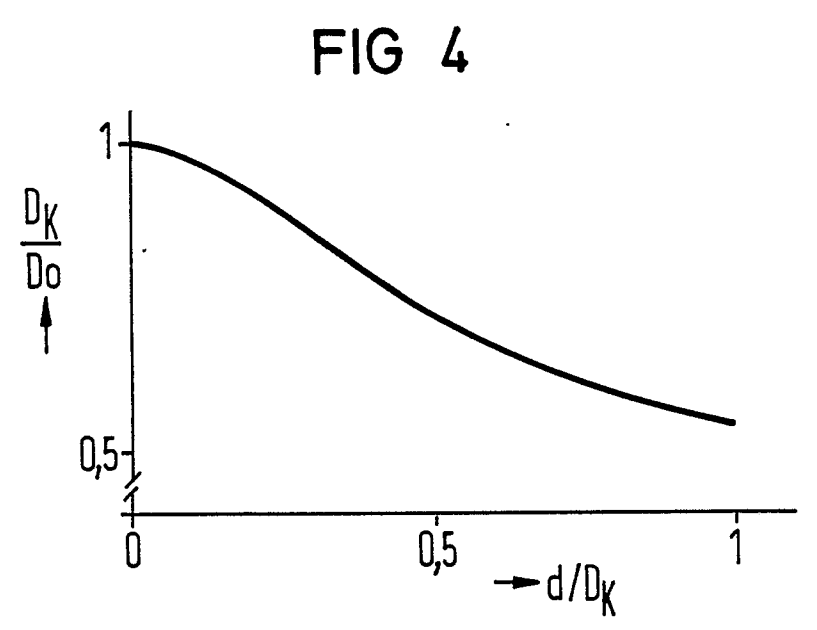
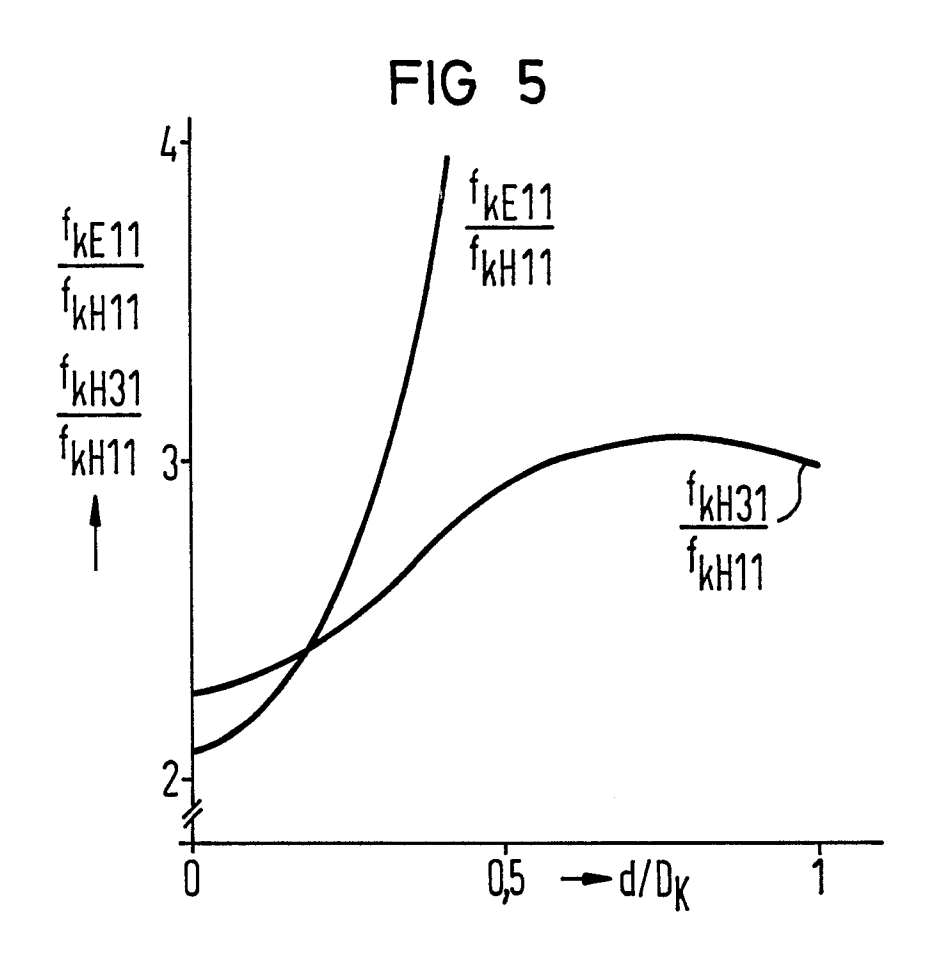


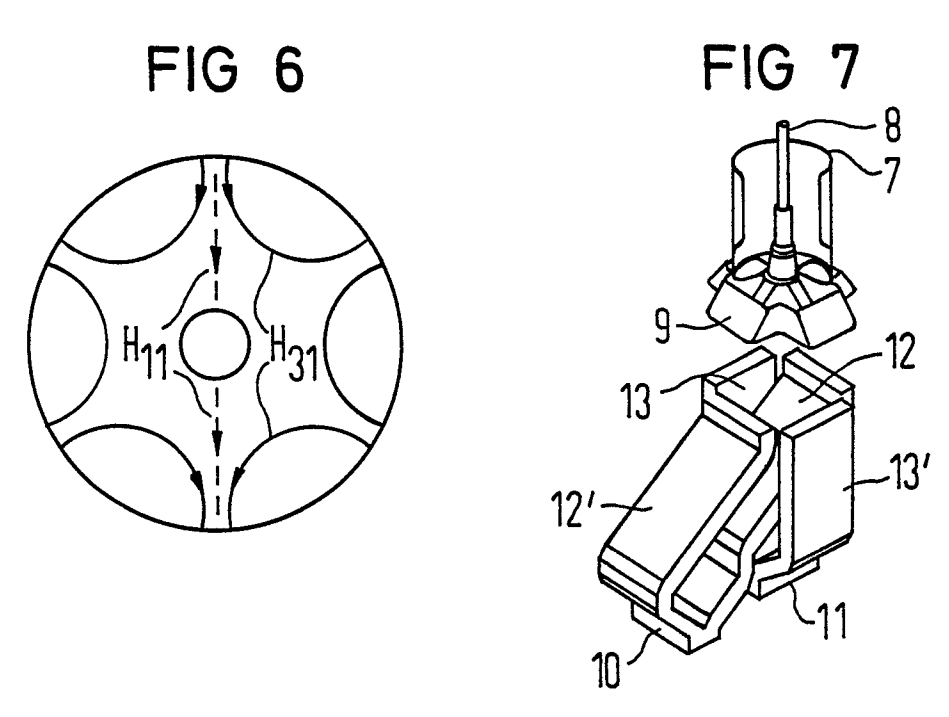
FIG 2











EUROPÄISCHER RECHERCHENBERICHT

88 10 4292

EINSCHLÄGIGE DOKUMENTE				*****
Kategorie	Kennzeichnung des Dokument der maßgebliche	s mit Angabe, soweit erforderlich, en Teile	Betrifft Anspruch	KLASSIFIKATION DER ANMELDUNG (Int. Cl.4)
X Y	US-A-3 150 333 (D.F * Das ganze Dokument		1-7,9, 11 8,12-17	H 01 P 1/161
Y	IEEE TRANSACTIONS ON AND TECHNIQUES, Band February 1985, Seite New York, US; R. TER resistance of coaxia conductors" * Abbildung 5 *	MTT-33, Nr. 2, n 143-145, IEEE, AKADO: "Exact wave	8	
Α	IDEM		10	
Y	GB-A-2 175 145 (THO	MSON-CSF)	12	
Y	DE-A-2 521 956 (SIE * Seite 13, Zeilen 1 *	MENS) 2-21; Abbildung 13	13-15	
Y	NACHRICHTENTECHNISCHE ZEITSCHRIFT, N.T.Z., Band 38, Nr. 8, August 1985, Seiten 554-560, Berlin, DE; E. SCHUEGRAF: "Neuartige Mikrowellenweichen für Zweibandantennen" * Zusammenfassung; Abbildung 9 *		16,17	RECHERCHIERTE SACHGEBIETE (Int. Cl.4) H 01 P
Der v	orliegende Recherchenbericht wurde			
Recherchenort DEN HAAG		Abschlußdatum der Recherche 22–06–1988	LAUG	Prufer GEL R.M.L.
	KATEGORIE DER GENANNTEN DO	OKUMENTE T : der Erfindur	ig zugrunde liegende	Theorien oder Grundsätze

- X: von besonderer Bedeutung allein betrachtet
 Y: von besonderer Bedeutung in Verbindung mit einer anderen Veröffentlichung derselben Kategorie
 A: technologischer Hintergrund
 O: nichtschriftliche Offenbarung
 P: Zwischenliteratur

- T: der Erfindung zugrunde liegende Theorien oder Gri E: älteres Patentlokument, das jedoch erst am oder nach dem Anmeldedatum veröffentlicht worden ist D: in der Anmeldung angeführtes Dokument L: aus andern Gründen angeführtes Dokument
- & : Mitglied der gleichen Patentfamilie, übereinstimmendes Dokument